

## ТВЕРДЫЕ ПРОДУКТЫ ЗАХВАТА $\text{NO}_2$ И $\text{O}_3$ НА ПОКРЫТИИ ИЗ МЕТАНОВОЙ САЖИ

© 2023 г. А. А. Еганов<sup>1</sup>, Д. А. Кардонский<sup>1</sup>, И. В. Сулименков<sup>2</sup>, В. И. Козловский<sup>2</sup>,  
Е. В. Апарина<sup>2</sup>, В. В. Зеленов<sup>2\*</sup>

<sup>1</sup>Первый московский государственный медицинский университет им. И.М. Сеченова, Москва, Россия

<sup>2</sup>Федеральный исследовательский центр химической физики им. Н.Н. Семёнова Российской академии наук,  
Москва, Россия

\*E-mail: v.zelenov48@gmail.com

Поступила в редакцию 15.04.2022;  
после доработки 17.06.2022;  
принята в печать 20.06.2022

С использованием проточного реактора с подвижной вставкой и масс-спектрометрическим контролем газового состава была проведена обработка образцов метановой сажи реагентами  $\text{O}_3$  и  $\text{NO}_2$  до момента полного прекращения их захвата поверхностью. Анализ растворов исходной метановой сажи и твердых продуктов ее реакции с окисляющими реагентами  $\text{O}_3$  и  $\text{NO}_2$  в ацетонитриле проводился с использованием масс-спектрометрии высокого разрешения с электроспрейным ионным источником и газовой хроматографии—масс-спектрометрии с электронной ионизацией. Установлено, что исходная сажа содержит ряд ароматических соединений, включая и полициклические, которые полностью расходуются в реакции с этими окислителями. Соединения из класса парафинов остаются инертными по отношению к  $\text{NO}_2$  и  $\text{O}_3$ . В качественном отношении продукты нитрования и озонирования одинаковы как по своему составу, так и по содержанию основных функциональных групп. Количество продуктов озонирования значительно больше аналогичных продуктов нитрования. Это является причиной высокой реакционной способности нитрованной сажи по отношению к захвату озона.

**Ключевые слова:** химия тропосферы, озон  $\text{O}_3$ , диоксид азота  $\text{NO}_2$ , сажа, твердые продукты реакции, масс-спектрометрия, газовая хроматография.

**DOI:** 10.31857/S0207401X23040064, **EDN:** MWMISN

### ВВЕДЕНИЕ

Окислы азота  $\text{NO}_x$  и озон как следовые газы с относительными концентрациями  $\sim 40\text{--}70 \text{ ppb}$  [1, 2] являются эффективными окислителями земной атмосферы. Источниками окислов азота в тропосфере служат грозовые разряды, потоки закиси азота от поверхности Земли, газофазные photoхимические реакции с участием озона, процессы горения биомассы и природных топлив [3]. Озон в тропосфере образуется в циклах photoхимических реакций с участием  $\text{OH}$ ,  $\text{NO}_x$  и различных органических компаундов; дополнительный вклад вносят грозовые разряды и интрузия  $\text{O}_3$  из стрatosферы [4–8].

Твердые аэрозоли смешанного состава с частицами микронного и субмикронного размеров:  $\text{PM}_{2.5}\text{--PM}_{10}$ , широко распространены в атмосфере. Средняя масса аэрозоля в тропосфере составляет около  $15 \text{ мкг} \cdot \text{м}^{-3}$ , а в особо загрязненных густонаселенных регионах она достигает  $200 \text{ мкг} \cdot \text{м}^{-3}$  и более [9, 10]. Большую часть твердого органиче-

ского аэрозоля составляет сажа, происхождение которой связано с горением биомассы и топлив различных технических устройств [11, 12]. На основе полевых измерений и моделирования средняя глобальная эмиссия сажевого аэрозоля оценивается в  $6.6\text{--}11.6 \text{ Тг} \cdot \text{год}^{-1}$ , а концентрация субмикронных частиц углерода в воздухе —  $\sim 0.6 \text{ мкг} \cdot \text{м}^{-3}$  [13–15].

В лабораторных исследованиях процессов горения различных топлив установлено, что сажа представляет собой некий углеродный остаток, в составе которого и на поверхности находятся функциональные группы, содержащие атомы С, Н и О. Это алканы, алкены, алкины, ароматические, карбонильные и эфирные группы в различных соотношениях, в зависимости от вида топлива и состава топливовоздушной смеси [16–18]. Кроме того, сажа содержит также полициклические ароматические углеводороды (ПАУ), или арены, которые состоят из нескольких сопряженных бензольных колец, содержащих только атомы С и Н в различных конфигурациях [19–21].

В условиях неполного сгорания вначале происходит формирование частиц размером 5–10 нм вследствие реактивной коагуляции молекул ПАУ [22–25]. Системы горения топлив производят значительные количества ПАУ, которые оказывают вредное воздействие на здоровье человека [26]. В атмосфере при взаимодействии ПАУ с активными газовыми компонентами, а также при высокотемпературном горении возможно образование еще более токсичных продуктов – нитро-ПАУ и окси-ПАУ, которые вызывают рост опухолей и повреждение биомолекул в живых организмах [27, 28].

К настоящему времени имеется много лабораторных исследований по захвату  $\text{NO}_2$  и  $\text{O}_3$  на различных типах покрытий из сажевых субстратов, включая электроискровую сажу (черный углерод), свечную сажу, сажу горения этилена, толуола, гексана, керосина и т.п. В большинстве случаев используемые методики позволяли определять коэффициенты захвата и регистрировать газофазные продукты. Гораздо меньше работ связано с исследованием поверхности сажи и определением состава твердых продуктов таких процессов захвата [29, 30]. Для идентификации поверхностных групп использовали ИК- и УФ-спектроскопию, ЭПР, газовую хроматографию с масс-спектрометрией электронного удара или фотоионизацией. В частности, было установлено, что при горении этилен-кислородного пламени кроме алифатических групп образуется значительное количество аренов, содержащих от 16 до 30 атомов углерода [23]. Данные, получаемые с применением различных методик, позволяют составить цельную картину гетерогенного взаимодействия газ – твердое тело и моделировать в дальнейшем конкретные процессы захвата активных атмосферных газов на твердом тропосферном аэрозоле. В лабораторных исследованиях по изучению захвата газовых реагентов  $\text{NO}_2$ ,  $\text{HNO}_3$ ,  $\text{O}_3$  на покрытиях из сажи горения различных топлив установлено, что в таких процессах расходуются активные поверхностные центры сажи. Это приводит к изменению состава и структуры поверхности и образованию функциональных групп  $\text{R}-\text{NO}_2$ ,  $\text{R}-\text{ONO}$ ,  $\text{R}-\text{ONO}_2$ ,  $\text{C}-\text{N}-\text{NO}_2$ ,  $\text{C}-\text{O}$ ,  $\text{C}=\text{O}$  [31–34].

При исследовании захвата  $\text{NO}_2$  и  $\text{O}_3$  на покрытии из метановой сажи нами ранее был получен ряд элементарных параметров, описывающих процесс захвата, и на базе лэнгмюровской концепции конкурентной адсорбции предложен механизм захвата с учетом многостадийности этого процесса. Было показано, что сажа после ее нитрования реагентом  $\text{NO}_2$  до полного прекращения захвата последнего остается реакционноспособной по отношению к озону [35]. Таким образом, вследствие конкурентной адсорбции в условиях

тропосферы должен существовать дополнительный канал стока озона на продуктах захвата конкурирующего реагента. При типичном соотношении концентраций  $\text{NO}_2/\text{O}_3$  для промышленно развитого региона в зимнее время [1] этот дополнительный интегральный вклад в захват озона должен составлять до 70% от основного канала стока.

С целью выяснения различия в реакционной способности сажи к этим реагентам в настоящей работе проведен сравнительный анализ твердых продуктов захвата  $\text{NO}_2$  и  $\text{O}_3$  на покрытии из метановой сажи. С этой же целью был проанализирован состав твердых продуктов озонирования сажи после ее предварительного нитрования реагентом  $\text{NO}_2$ .

## ЭКСПЕРИМЕНТАЛЬНАЯ ЧАСТЬ

Анализ исходной необработанной сажи и твердых продуктов ее реакций с  $\text{NO}_2$  и  $\text{O}_3$  проводили с использованием масс-спектрометра высокого разрешения Exactive Orbitrap производства компании ThermoFisher Scientific (Germany) с электrosпрейным ионным источником, а также tandemного прибора газовой хроматографии–масс-спектрометрии (ГХ–МС) GCMS-QP2010Ultra производства компании Shimadzu (Japan) с ионизацией электронным ударом. Наработку твердых продуктов захвата этих реагентов на пленочном покрытии из метановой сажи проводили в процессе исследования кинетики их захвата в проточном реакторе с подвижной вставкой и нанесенным на нее исходным сажевым покрытием. Реактор сопряжен с секторным магнитным масс-спектрометром высокого разрешения. Подробное описание установки дано в работе [35]. Время окончания обработки определяли по прекращению дальнейшего захвата реагентов  $\text{NO}_2$  или  $\text{O}_3$  и контролировали по интенсивности масс-спектральных линий с  $m/z = 46$  и  $48$  соответственно.

В качестве источника сажи использовали лабораторную горелку, присоединенную к газовой магистрали, без дополнительной подачи окисляющего агента. Сажу наносили на стержень из нержавеющей стали, который располагали на расстоянии 15–17 см от основания пламени и врашали его вручную в процессе осаждения сажи. Стержень с нанесенной сажей сразу вставляли в реактор и до проведения эксперимента оставляли под вакуумом при  $\sim 10^{-4}$  Торр. После проведения эксперимента прореагированную сажу смывали ацетонитрилом марки “ЧДА” объемом  $\sim 20$  мл и центрифугировали.

**Условия регистрации хроматограмм:** газовый хромато-масс-спектрометр GCMS-QP2010Ultra с капиллярной колонкой GsBP-5MS (длина – 30 м, диаметр – 0.25 мм, толщина фазы – 0.25 мкм). Начальная температура колонки – 70°C, выдерж-

ка – 2 мин с последующим нагревом со скоростью 20°C мин<sup>-1</sup> до 280°C и конечной выдержкой в течение 15 мин. Газ-носитель – гелий. Скорость потока газа-носителя – 1 мл · мин<sup>-1</sup>. Температура квадрупольного анализатора – 150°C. Температура ионного источника – 230°C. Время включения катодов и анализатора (“задержка на растворитель”) – через 3.51 мин после ввода пробы. Диапазон сканируемых величин отношения массы *m* иона к его заряду *z* равен 50–750.

**Условия регистрации масс-спектров высокого разрешения:** масс-спектрометр Exactive Orbitrap с интерфейсом типа ионная воронка, температура входного капилляра масс-спектрометра – 150°C. Для анализа ионов из приготовленных растворов (концентрация образца в ацетонитриле – 25 мг · л<sup>-1</sup>) использовался атмосферный электроспрейный ионный источник [36] со шприцевой подачей раствора (скорость выхода раствора – 1 мкл · мин<sup>-1</sup>, внутренний диаметр кварцевого капилляра – 100 мкм, величина напряжения между кварцевым капилляром и входным капилляром масс-спектрометра – около 3 кВ). Величина рабочего разрешения масс-спектрометра составляла около 10000 (отношение значения *m/z* ионного пика к его ширине на половине высоты). Относительная погрешность определения величины *m/z* составляла 2 · 10<sup>-6</sup>.

На рис. 1 приведены масс-спектры высокого разрешения положительно заряженных ионов, полученные методом электроспрея при атмосферном давлении. В этом методе ионизации образуются квазимолекулярные ионы, которые получаются при присоединении к молекуле либо протона, либо иона щелочного металла (калия или натрия). Источником щелочных металлов служит используемый растворитель, в который ионы щелочных металлов попадают при его производстве или хранении в стеклянной лабораторной посуде. Основными побочными компонентами анализируемого раствора образца являются также фталаты: дибутилфталат (DBPh), диоктилфталат (DOPh) и их производные. Эти вещества содержатся в качестве пластификаторов в материале лабораторного пластикового оборудования – ампулах для хранения образцов и капиллярах подачи образцов в электроспрейный ионный источник. Так, на рис. 1, как и во всех других масс-спектрах, наиболее интенсивными являются линии ионов [DBPh+Na]<sup>+</sup> (*m/z* = 301.142) и [DOPh+Na]<sup>+</sup> (*m/z* = 413.267). Эти компоненты масс-спектра, общие для всех образцов, были исключены при дальнейшем анализе состава продуктов.

При анализе состава продуктов методом ГХ–МС (рис. 2) во всех хроматограммах наиболее интенсивные пики с временами выхода 14.495, 15.14, 15.975, 16.975, 18.195 мин относят также к фтала-

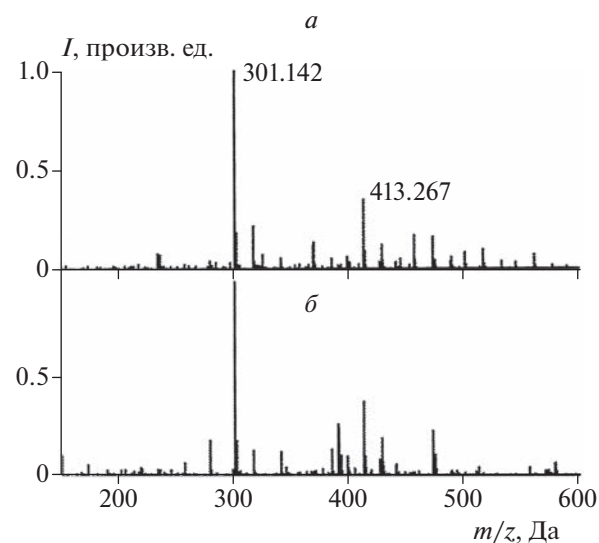
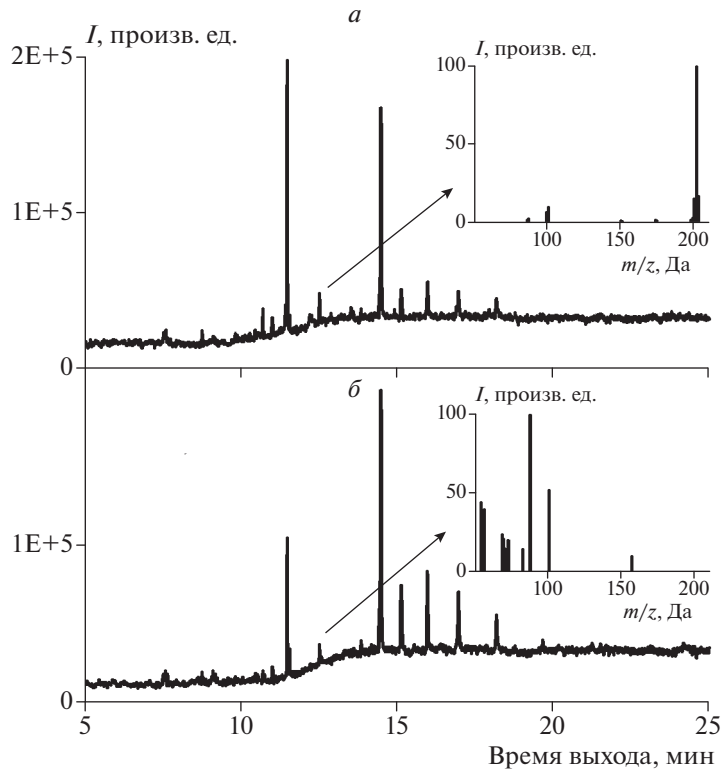


Рис. 1. Масс-спектры высокого разрешения в положительных ионах: *a* – сажа после экспозиции к NO<sub>2</sub>; *b* – сажа после экспозиции к O<sub>3</sub>.

там. Эти побочные компоненты легко выявляются по их характерным масс-спектрам электронного удара с доминирующим пиком *m/z* = 149 и исключаются из рассмотрения при анализе состава продуктов.

## РЕЗУЛЬТАТЫ И ИХ ОБСУЖДЕНИЕ

Результаты хроматографического анализа состава продуктов приведены в табл. 1. Идентификацию веществ проводили по восьми наиболее интенсивным пикам, учитывая соотношение их интенсивностей. Это позволяет практически однозначно определять искомое соединение. Так, в качестве иллюстрации на вставках рис. 2 приведены масс-спектры пирена и эфира карбоновой кислоты с одним и тем же временем выхода хроматографического пика продуктов исходной сажи и продуктов ее нитрования. Исключение составляет ряд классов веществ, таких как парафины и фталаты. Масс-спектры электронного удара этих соединений внутри своих классов очень похожи по составу и соотношению интенсивностей осколочных ионов. В последнем столбце табл. 1 приведены идентификационные номера соответствующих веществ из базы данных NIST [37]. Из данных этой таблицы следует, что исходная сажа содержит ряд ароматических соединений, включая и полициклические, которые полностью расходятся в реакции с NO<sub>2</sub> и O<sub>3</sub>. В целом количество продуктов озонирования больше по сравнению с продуктами нитрования. Продукты процесса нитрования с последующим озонированием те же, что и продукты нитрования. Парафины, содержа-



**Рис. 2.** Хроматограмма образца сажи: *а* – исходная сажа; *б* – сажа после экспозиции к  $\text{NO}_2$ . На вставках – масс-спектры пирена (*а*) и этилового эфира карбоновой кислоты (*б*), соответствующие времени 12.515 мин выхода хроматографического пика.

**Таблица 1. Состав продуктов в исходной саже и после ее нитрования, озонирования, а также после нитрования с последующим озонированием, установленный методом ГХ–МС**

Время выхода, мин	Номер образца*	Формула	ID NIST
7.32–8.24	1–4	$\text{C}_n\text{H}_{2n+2}$	парафины
8.27	3	$\text{C}_{19}\text{H}_{24}$	73567
8.33	3	$\text{C}_{16}\text{H}_{15}\text{NO}_2$	84297-09-6**
8.6	1	$\text{C}_{15}\text{H}_{32}$	17052
8.6	2, 3, 4	$\text{C}_{10}\text{H}_{10}\text{O}_4$	71717
8.66–9.44	1–4	$\text{C}_n\text{H}_{2n+2}$	парафины
9.72	1	$\text{C}_{13}\text{H}_{18}\text{O}_3$	61591
9.88	2, 3, 4	$\text{C}_{18}\text{H}_{30}\text{O}_4$	34366
10.07	1	$\text{C}_{20}\text{H}_{40}\text{O}$	31855
10.285	2, 3, 4	$\text{C}_{28}\text{H}_{44}\text{N}_2$	104607
10.35–10.64	1–4	$\text{C}_n\text{H}_{2n+2}$	парафины
10.81	1	$\text{C}_{14}\text{H}_{10}$	76767
10.84–11.3	1–4	$\text{C}_n\text{H}_{2n+2}$	парафины
12.515	1	$\text{C}_{16}\text{H}_{10}$	83585
12.515	2, 3, 4	$\text{C}_{21}\text{H}_{42}\text{O}_2$	35652
13.545	3, 4	$\text{C}_{22}\text{H}_{42}\text{O}_4$	58241
24.86	1	$\text{C}_{22}\text{H}_{12}$	96826

\* Образец № 1 – исходная сажа, № 2 – сажа после нитрования, № 3 – сажа после озонирования, № 4 – сажа после нитрования с последующим озонированием.

\*\* CAS #.

щиеся в исходной саже, не расходуются как при нитровании, так и при озонировании.

Результаты анализа продуктов по масс-спектрам высокого разрешения приведены в табл. 2–6. Абсолютная чувствительность данного метода анализа и точность определения массы ионов оказываются существенно выше по сравнению с ГХ–МС, но есть и своя специфика: идентификация ионов в масс-спектре проводится методом генерирования возможных структур ионов с точными массами, отличными от измеренных не более чем на 1 мДа. В результате определяется брутто-формула, которой может соответствовать несколько индивидуальных соединений. Выбор из них конкретного соединения требует дополнительного анализа. Так, из анализа брутто-формул соединений, приведенных в этих таблицах, можно выявить различные классы соединений. Группа продуктов из табл. 2, содержащихся в исходной саже, представляет собой полициклические ароматические соединения (C<sub>9</sub>H<sub>9</sub>ON<sub>5</sub>, C<sub>10</sub>H<sub>11</sub>ON<sub>5</sub>, C<sub>12</sub>H<sub>14</sub>ON<sub>4</sub>, C<sub>13</sub>H<sub>8</sub>O<sub>4</sub>N<sub>2</sub>, C<sub>15</sub>H<sub>10</sub>N<sub>4</sub>, C<sub>16</sub>H<sub>12</sub>O<sub>4</sub>, C<sub>18</sub>H<sub>10</sub>O<sub>3</sub>, C<sub>26</sub>H<sub>33</sub>O<sub>7</sub>N, C<sub>27</sub>H<sub>32</sub>O<sub>4</sub>N<sub>2</sub>, C<sub>30</sub>H<sub>31</sub>O<sub>4</sub>N), ароматические кислоты (C<sub>11</sub>H<sub>9</sub>O<sub>4</sub>N, C<sub>12</sub>H<sub>15</sub>O<sub>4</sub>N) и их нитропроизводные (C<sub>10</sub>H<sub>9</sub>O<sub>7</sub>N, C<sub>12</sub>H<sub>8</sub>O<sub>6</sub>N<sub>4</sub>). Твердые продукты озонирования (табл. 4) включают в себя сложные эфиры органических кислот (C<sub>8</sub>H<sub>14</sub>O<sub>5</sub>, C<sub>10</sub>H<sub>14</sub>O<sub>5</sub>, C<sub>12</sub>H<sub>24</sub>O<sub>4</sub>, C<sub>14</sub>H<sub>18</sub>O<sub>3</sub>, C<sub>14</sub>H<sub>24</sub>O<sub>5</sub>, C<sub>15</sub>H<sub>24</sub>O<sub>5</sub>, C<sub>22</sub>H<sub>42</sub>O<sub>4</sub>, C<sub>25</sub>H<sub>40</sub>O<sub>4</sub>), полициклические соединения с аминогруппой (C<sub>11</sub>H<sub>16</sub>O<sub>5</sub>N<sub>5</sub>, C<sub>20</sub>H<sub>30</sub>N<sub>4</sub>, C<sub>20</sub>H<sub>38</sub>O<sub>5</sub>N<sub>2</sub>, C<sub>21</sub>H<sub>37</sub>N), амидогруппой (C<sub>12</sub>H<sub>25</sub>ON, C<sub>13</sub>H<sub>15</sub>ON, C<sub>13</sub>H<sub>27</sub>ON, C<sub>14</sub>H<sub>29</sub>ON, C<sub>16</sub>H<sub>33</sub>ON, C<sub>17</sub>H<sub>35</sub>ON), ацетильной группой (C<sub>16</sub>H<sub>26</sub>O<sub>9</sub>, C<sub>18</sub>H<sub>22</sub>O<sub>8</sub>, C<sub>20</sub>H<sub>26</sub>O<sub>9</sub>) и кетогруппой (C<sub>17</sub>H<sub>12</sub>ON<sub>6</sub>, C<sub>21</sub>H<sub>14</sub>O<sub>2</sub>). Состав продуктов нитрования (табл. 3 и 5) близок к продуктам озонирования из табл. 4 – это преобладающие сложные эфиры органических кислот в табл. 5, а в табл. 3, кроме этого, – ароматические полициклические соединения. Аналогично анализу данных ГХ–МС из сравнения состава продуктов нитрования и озонирования можно сделать вывод о более высокой реакционной способности сажи к озонированию.

Состав продуктов озонирования сажи после ее предварительного нитрования тот же, что и после простого озонирования. Дополнительно образуются продукты (табл. 6), характерные только для этого процесса последовательного окисления: внедрение атома азота в углеродные цепочки (C<sub>16</sub>H<sub>38</sub>N<sub>4</sub>), в полициклические ароматические структуры (C<sub>16</sub>H<sub>27</sub>N, C<sub>18</sub>H<sub>31</sub>N, C<sub>18</sub>H<sub>20</sub>O<sub>6</sub>N<sub>4</sub>, C<sub>22</sub>H<sub>43</sub>ON), образование мостиковых структур через атом азота (C<sub>17</sub>H<sub>20</sub>O<sub>4</sub>N<sub>2</sub>, C<sub>19</sub>H<sub>29</sub>N, C<sub>20</sub>H<sub>35</sub>N).

Таблица 2. Твердые продукты в исходной саже, которые полностью расходуются как при нитровании, так и при озонировании

Брутто-формула	<i>M</i> , а.е.м	Идентификация по иону	NIST*
C <sub>8</sub> H <sub>13</sub> O <sub>5</sub> N	203.079	MK <sup>+</sup>	8
C <sub>9</sub> H <sub>9</sub> ON <sub>5</sub>	203.081	MK <sup>+</sup>	3
C <sub>10</sub> H <sub>11</sub> ON <sub>5</sub>	217.096	MK <sup>+</sup>	3
C <sub>11</sub> H <sub>9</sub> O <sub>4</sub> N	219.053	MNa <sup>+</sup>	12
C <sub>12</sub> H <sub>8</sub> O <sub>6</sub> N <sub>4</sub>	304.044	MH <sup>+</sup>	1
C <sub>12</sub> H <sub>14</sub> ON <sub>4</sub>	230.117	MK <sup>+</sup>	2
C <sub>12</sub> H <sub>15</sub> O <sub>4</sub> N	237.100	MK <sup>+</sup>	33
C <sub>13</sub> H <sub>8</sub> O <sub>4</sub> N <sub>2</sub>	256.048	M <sup>+</sup>	3
C <sub>15</sub> H <sub>10</sub> N <sub>4</sub>	246.091	MNa <sup>+</sup>	8
C <sub>16</sub> H <sub>10</sub>	202.078	M <sup>+</sup>	3
C <sub>16</sub> H <sub>12</sub> O <sub>4</sub>	268.074	MH <sup>+</sup>	28
C <sub>18</sub> H <sub>10</sub> O <sub>3</sub>	274.063	MH <sup>+</sup>	1
C <sub>24</sub> H <sub>44</sub> O <sub>6</sub>	428.314	MH <sup>+</sup>	1
C <sub>26</sub> H <sub>33</sub> O <sub>7</sub> N	471.226	MH <sup>+</sup>	1
C <sub>27</sub> H <sub>32</sub> O <sub>4</sub> N <sub>2</sub>	448.236	MH <sup>+</sup>	1
C <sub>27</sub> H <sub>38</sub> O <sub>5</sub>	442.272	MK <sup>+</sup>	1
C <sub>28</sub> H <sub>32</sub> O <sub>3</sub> N <sub>2</sub>	444.241	MNa <sup>+</sup>	2
C <sub>30</sub> H <sub>31</sub> O <sub>4</sub> N	469.225	MH <sup>+</sup>	1

\*Количество индивидуальных соединений в NIST, которые соответствуют указанной брутто-формуле.

Таблица 3. Твердые продукты нитрования сажи, которые отсутствуют в продуктах озонирования

Брутто-формула	<i>M</i> , а.е.м	Идентификация по иону	NIST*
C <sub>6</sub> H <sub>6</sub> O <sub>2</sub> N <sub>2</sub>	138.043	MH <sup>+</sup>	15
C <sub>8</sub> H <sub>19</sub> O <sub>2</sub> N	161.142	MK <sup>+</sup>	4
C <sub>11</sub> H <sub>12</sub> N <sub>4</sub>	200.106	M <sup>+</sup>	3
C <sub>15</sub> H <sub>15</sub> N	209.120	MH <sup>+</sup>	22
C <sub>17</sub> H <sub>34</sub> O <sub>6</sub>	334.236	MNa <sup>+</sup>	4
C <sub>19</sub> H <sub>41</sub> N	283.324	MH <sup>+</sup>	6
C <sub>26</sub> H <sub>48</sub> O <sub>8</sub> N <sub>2</sub>	516.341	MH <sup>+</sup>	1

\*Количество индивидуальных соединений в NIST, которые соответствуют указанной брутто-формуле.

**Таблица 4. Твердые продукты озонирования сажи, которые отсутствуют в продуктах нитрования**

Брутто-формула	<i>M</i> , а.е.м	Идентификация по иону	NIST*
C <sub>8</sub> H <sub>13</sub> O <sub>2</sub> N <sub>3</sub>	183.101	MNa <sup>+</sup>	1
C <sub>8</sub> H <sub>14</sub> O <sub>5</sub>	190.084	MNa <sup>+</sup>	18
C <sub>10</sub> H <sub>14</sub> O <sub>5</sub>	214.084	MH <sup>+</sup>	6
C <sub>11</sub> H <sub>16</sub> O <sub>5</sub> N <sub>5</sub>	298.115	MNa <sup>+</sup>	1
C <sub>15</sub> H <sub>27</sub> O <sub>3</sub> N	269.199	M <sup>+</sup>	2
C <sub>12</sub> H <sub>24</sub> O <sub>4</sub>	232.167	MNa <sup>+</sup>	2
C <sub>12</sub> H <sub>25</sub> ON	199.194	MH <sup>+</sup>	12
C <sub>13</sub> H <sub>15</sub> ON	201.115	M <sup>+</sup>	15
C <sub>13</sub> H <sub>27</sub> ON	213.209	MH <sup>+</sup>	7
C <sub>14</sub> H <sub>18</sub> O <sub>3</sub>	234.126	MH <sup>+</sup>	28
C <sub>14</sub> H <sub>20</sub> O <sub>6</sub> N <sub>6</sub>	368.144	MH <sup>+</sup>	1
C <sub>14</sub> H <sub>24</sub> O <sub>5</sub>	272.162	MNa <sup>+</sup>	6
C <sub>14</sub> H <sub>29</sub> ON	227.225	MH <sup>+</sup>	9
C <sub>15</sub> H <sub>24</sub> O <sub>5</sub>	284.162	MNa <sup>+</sup>	10
C <sub>16</sub> H <sub>13</sub> N	219.105	MH <sup>+</sup>	15
C <sub>16</sub> H <sub>26</sub> O <sub>9</sub>	362.158	MNa <sup>+</sup>	1
C <sub>16</sub> H <sub>33</sub> ON	255.256	MH <sup>+</sup>	5
C <sub>17</sub> H <sub>12</sub> ON <sub>6</sub>	316.107	MK <sup>+</sup>	1
C <sub>17</sub> H <sub>22</sub> O <sub>3</sub>	274.157	MH <sup>+</sup>	6
C <sub>17</sub> H <sub>35</sub> ON	269.272	MH <sup>+</sup>	3
C <sub>18</sub> H <sub>22</sub> O <sub>8</sub>	366.131	MH <sup>+</sup>	7
C <sub>20</sub> H <sub>26</sub> O <sub>9</sub>	410.158	MNa <sup>+</sup>	1
C <sub>20</sub> H <sub>30</sub> N <sub>4</sub>	326.247	MNa <sup>+</sup>	1
C <sub>20</sub> H <sub>38</sub> O <sub>5</sub> N <sub>2</sub>	386.278	MNa <sup>+</sup>	1
C <sub>21</sub> H <sub>14</sub> O <sub>2</sub>	298.099	MH <sup>+</sup>	2
C <sub>21</sub> H <sub>37</sub> N	303.293	MH <sup>+</sup>	5
C <sub>22</sub> H <sub>20</sub> O <sub>8</sub>	412.116	MNa <sup>+</sup>	2
C <sub>22</sub> H <sub>42</sub> O <sub>4</sub>	370.308	MNa <sup>+</sup>	11
C <sub>25</sub> H <sub>40</sub> O <sub>4</sub>	404.293	MH <sup>+</sup>	7
C <sub>25</sub> H <sub>46</sub> O <sub>4</sub>	410.340	MNa <sup>+</sup>	1
C <sub>26</sub> H <sub>48</sub> O <sub>4</sub>	424.355	MNa <sup>+</sup>	1
C <sub>27</sub> H <sub>22</sub> O <sub>3</sub> N <sub>2</sub>	422.163	MNa <sup>+</sup>	2
C <sub>30</sub> H <sub>44</sub> O <sub>3</sub>	452.329	MNa <sup>+</sup>	4
C <sub>30</sub> H <sub>44</sub> O <sub>4</sub>	468.324	MH <sup>+</sup>	3

\* Количество индивидуальных соединений в NIST, которые соответствуют указанной брутто-формуле.

**Таблица 5. Твердые продукты, одинаковые как при нитровании сажи, так и при ее озонировании**

Брутто-формула	<i>M</i> , а.е.м	Идентификация по иону	NIST*
C <sub>9</sub> H <sub>16</sub> O <sub>4</sub>	188.105	MNa <sup>+</sup>	42
C <sub>10</sub> H <sub>15</sub> O <sub>2</sub> N <sub>3</sub>	209.116	M <sup>+</sup>	1
C <sub>10</sub> H <sub>16</sub> O <sub>4</sub>	200.105	MNa <sup>+</sup>	51
C <sub>10</sub> H <sub>16</sub> O <sub>5</sub>	216.100	MNa <sup>+</sup>	12
C <sub>10</sub> H <sub>18</sub> O <sub>4</sub>	202.121	MNa <sup>+</sup>	53
C <sub>10</sub> H <sub>22</sub> O <sub>4</sub>	206.152	MNa <sup>+</sup>	4
C <sub>22</sub> H <sub>28</sub> O	320.214	MH <sup>+</sup>	2
C <sub>23</sub> H <sub>40</sub> O <sub>6</sub> N <sub>2</sub>	440.289	MH <sup>+</sup>	1

\* Количество индивидуальных соединений в NIST, которые соответствуют указанной брутто-формуле.

**Таблица 6. Твердые продукты после нитрования сажи с последующим озонированием**

Брутто-формула	<i>M</i> , а.е.м	Идентификация по иону	NIST*
C <sub>16</sub> H <sub>27</sub> N	233.214	MH <sup>+</sup>	8
C <sub>16</sub> H <sub>30</sub> O <sub>3</sub>	270.219	MNa <sup>+</sup>	5
C <sub>16</sub> H <sub>38</sub> N <sub>4</sub>	286.310	M <sup>+</sup>	1
C <sub>17</sub> H <sub>20</sub> O <sub>4</sub> N <sub>2</sub>	316.142	MK <sup>+</sup>	4
C <sub>18</sub> H <sub>20</sub> O <sub>6</sub> N <sub>2</sub>	360.132	MNa <sup>+</sup>	3
C <sub>18</sub> H <sub>26</sub> N <sub>2</sub>	270.210	MH <sup>+</sup>	3
C <sub>18</sub> H <sub>29</sub> N	259.230	MH <sup>+</sup>	1
C <sub>18</sub> H <sub>29</sub> O <sub>4</sub> N	323.210	MH <sup>+</sup>	2
C <sub>18</sub> H <sub>31</sub> N	261.246	MH <sup>+</sup>	6
C <sub>19</sub> H <sub>29</sub> N	271.230	MH <sup>+</sup>	6
C <sub>20</sub> H <sub>26</sub> O <sub>4</sub> N <sub>2</sub>	358.189	MK <sup>+</sup>	6
C <sub>20</sub> H <sub>35</sub> N	289.277	MH <sup>+</sup>	4
C <sub>22</sub> H <sub>43</sub> ON	337.334	MH <sup>+</sup>	6
C <sub>27</sub> H <sub>50</sub> O <sub>6</sub>	470.361	MK <sup>+</sup>	3
C <sub>30</sub> H <sub>46</sub> O <sub>5</sub>	426.335	MNa <sup>+</sup>	1

\* Количество индивидуальных соединений в NIST, которые соответствуют указанной брутто-формуле.

## ЗАКЛЮЧЕНИЕ

Из анализа хромато-масс-спектрометрических данных по составу свежей метановой сажи и сажи, обработанной NO<sub>2</sub> и O<sub>3</sub>, можно сделать следующие выводы. Исходная сажа содержит ряд ароматических соединений, включая и полициклические, которые полностью расходятся в реакции с этими окислителями. Есть класс соединений, инертных по отношению к NO<sub>2</sub> и O<sub>3</sub>. К

ним относится группа парафинов. Продукты нитрования и озонирования одинаковы, но количество последних больше. В результате процесса нитрования с последующим озонированием образуются те же продукты, что и после простого озонирования. Такие же выводы следуют и из анализа данных масс-спектрометрии высокого разрешения. Из этих данных можно также сделать дополнительный вывод о наличии специфических продуктов, присутствующих либо только в продуктах нитрования (табл. 3), либо озонирования (табл. 4), либо в продуктах последовательного процесса окисления (табл. 6). Тем не менее основной вывод остается прежним – в качественном отношении продукты нитрования и озонирования одинаковы как по своему составу, так и по содержанию основных функциональных групп. Различие состоит в количественном составе продуктов окисления – окислительная способность озонирования гораздо выше, поэтому после нитрования сажа остается реакционноспособной по отношению к захвату озона.

Работа выполнена в рамках госзадания FFZE-2022-0008 (регистрационный номер 122040500059-8).

## СПИСОК ЛИТЕРАТУРЫ

1. *Roberts-Semple D., Song F., Gao Yu.* // Atmos. Pollut. Res. 2012. V. 3. P. 247; [www.atmospolres.com](http://www.atmospolres.com)
2. *Liu Yu., Tang G., Liu B. et al.* // Atmos. Environ. 2022. V. 275. P. 119018; <https://doi.org/10.1016/j.atmosenv.2022.119018>
3. *Schumann U., Huntrieser H.* // Atmos. Chem. Phys. 2007. V. 7. P. 3823; [www.atmos-chem-phys.net/7/3823/2007/](http://www.atmos-chem-phys.net/7/3823/2007/)
4. *Washenfelder R.A., Wagner N.L., Dubé W.P., Brown S.S.* // Environ. Sci. Technol. 2011. V. 45. P. 2938; <https://doi.org/10.1021/es103340u>
5. *Ларин И.К.* // Хим. физика. 2019. Т. 38. №5. С. 81; <https://doi.org/10.1134/S0207401X1905008X>
6. *Ларин И.К., Алоян А.Е., Ермаков А.Н.* // Хим. физика. 2021. Т. 40. № 5. С. 86; <https://doi.org/10.31857/S0207401X21050095>
7. *Ларин И.К.* // Хим. физика. 2022. Т. 41. № 5. С. 371; <https://doi.org/10.31857/S0207401X22050089>
8. *Xiong X., Liu X., Wu W. et al.* // Atmos. Environ. 2022. V. 273. P. 118956; <https://doi.org/10.1016/j.atmosenv.2022.118956>
9. *Aas W., Tsyrö S., Bieber E. et al.* // Atmos. Chem. Phys. 2012. V. 12. P. 8073; <https://doi.org/10.5194/acp-12-8073-2012>
10. *Sharma S.K., Karapurkar S.G., Shenoy D.M., Mandal T.K.* // J. Atmos. Chem. 2022. V. 79. P. 67; <https://doi.org/10.1007/s10874-022-09429-0>
11. *Berner A., Sidla S., Galambos Z. et al.* // J. Geophys. Res. Atmospheres. 1996. V. 101. P. 19559; <https://doi.org/10.1029/95JD03425>
12. *Pohl K., Cantwell M., Herckes P., Lohmann R.* // Atmos. Chem. Phys. 2014. V. 14. P. 7431; <https://doi.org/10.5194/acp-14-7431-2014,2014>
13. *Bond T.C., Streets D.G., Yarber K.F. et al.* // J. Geophys. Res. 2004. V. 109. D14203; <https://doi.org/10.1029/2003JD003697>
14. *Wang R., Tao S., Shen H. et al.* // Environ. Sci. Technol. 2014. V. 48. P. 6780; <https://doi.org/10.1021/es5021422>
15. *Klimont Z., Kupiainen K., Heyes C. et al.* // Atmos. Chem. Phys. 2017. V. 17. P. 8681; <https://doi.org/10.5194/acp-8681-2017>
16. *Akhter M.S., Chughtai A.R., Smith D.M.* // Applied Spec. 1985. V. 39. P. 143; <https://doi.org/10.1366/0003702854249114>
17. *Stadler D., Rossi M.J.* // Phys. Chem. Chem. Phys. 2000. V. 2. P. 5420; <https://doi.org/10.1039/b005680o>
18. *Cain J.P., Gassman P.L., Wang H., Laskin A.* // Phys. Chem. Chem. Phys. 2010. V. 12. P. 5206; <https://doi.org/10.1039/b924344e>
19. *Smedley J.M., Williams A., Bartle K.D.* // Combust.and Flame 1992. V. 91. P. 71; [https://doi.org/10.1016/0010-2180\(92\)90128-C](https://doi.org/10.1016/0010-2180(92)90128-C)
20. *Siegmann K., Hepp H., Sattler K.* // Combust. Sci. Technol. 1995. V. 109. P. 165; <https://doi.org/10.1080/00102209508951900>
21. *Onischuk A.A., di Stasio S., Karasev V.V. et al.* // Aerosol Sci. 2003. V. 34. P. 383; [https://doi.org/10.1016/S0021-8502\(02\)00215-X](https://doi.org/10.1016/S0021-8502(02)00215-X)
22. *Dobbings R.A., Fletcher R.A., Chang H.-C.* // Combust. and Flame. 1998. V. 115. P. 285; [https://doi.org/10.1016/S0010-2180\(98\)00010-8](https://doi.org/10.1016/S0010-2180(98)00010-8)
23. *Oktet B., Tolocka M.P., Zhao B. et al.* // Combust. and Flame. 2005. V. 142. P. 364; <https://doi.org/10.1016/j.combustflame.2005.03.016>
24. *Hafner W.D., Carlson D.L., Hites R.A.* // Environ. Sci. Technol. 2005. V. 39. P. 7374; <https://doi.org/10.1021/es0508673>
25. *Lang C., Tao S., Liu W. et al.* // Environ. Sci. Technol. 2008. V. 42. P. 5156; <https://doi.org/10.1021/es800453n>
26. *Li W., Park R., Alexandrou N. et al.* // Environ. Sci. Technol. 2021. V. 55. P. 2254; <https://doi.org/10.1021/acs.est.0c07079>
27. *Ringuet J., Albinet A., Leoz-Garziandia E. et al.* // Atmos. Environ. 2012. V. 61. P. 15; <https://doi.org/10.1016/j.atmosenv.2012.07.025>
28. *Roy R., Jan R., Gunjal G. et al.* // Atmos. Environ. 2019. V. 210. P. 47; <https://doi.org/10.1016/j.atmosenv.2019.04.034>
29. *Liu Y., Liu C., Ma J. et al.* // Phys. Chem. Chem. Phys. 2010. V. 12. P. 10896; <https://doi.org/10.1039/c0cp00402b>
30. *Burkholder J.B., Sander S.P., Abbatt J.P.D. et al.* “Chemical Kinetics and Photochemical Data for Use in Atmospheric Studies. Evaluation № 19”. Pasadena: NASA JPL Publication 19-5, 2019; <http://jpldataeval.jpl.nasa.gov>

31. *Akhter M.S., Chughtai A.R., Smith D.M.* // *J. Phys. Chem.* 1984. V. 88. P. 5334;  
<https://doi.org/10.1021/j150666a046>
32. *Smith D.M., Chughtai A.R.* // *J. Geophys. Res.* 1996. V. 101D. P. 19607;  
<https://doi.org/10.1029/95JD03032>
33. *Kirchner U., Scheer V., Vogt R.* // *J. Phys. Chem. A.* 2000. V. 104. P. 8908;  
<https://doi.org/10.1021/jp0005322>
34. *Han C., Liu Y., He H.* // *Atmos. Environ.* 2013. V. 64. P. 270;  
<https://doi.org/10.1016/j.atmosenv.2012.10.008>
35. *Зеленов В.В., Апарина Е.В.* // *Хим. физика.* 2023. Т. 42. № 1. С. 73;  
<https://doi.org/10.31857/S0207401X23010144>
36. *Kozlovski V., Brusov V., Sulimenkov I. et al.* // *Rapid Commun. Mass Spectrom.* 2004. V. 18. P. 780;  
<https://doi.org/10.1002/rcm.1405>
37. [www.sisweb.com/software/ms/nist.htm](http://www.sisweb.com/software/ms/nist.htm)